## 改良形 Mo 系高速度鋼 (YXM1) について

Improved Molybdenum High Speed Steel (YXM1)

与 永 欣
Kingo Kiyonaga

河 合 重 徳 Shigenori Kawai

## 内 容 梗 概

ドリル材として広く使用されている YXM1の改良研究を行ない,一流の欧米品に比し遜色のない製品が製造されるようになった。この改良形 YXM1は,炭化物がきわめて微細かつ均一に分布し,低い焼入温度で十分な焼戻硬度を与え,かつ焼戻抵抗が大きいことを特長とする。その結果,高硬度範囲の靭性を著しく改善し切削耐久性を上昇した。

## 1. 緒 言

Mo 系高速度鋼は比較的低温からの焼入が可能で、靭性(じんせい)および耐摩耗性に富み、価格の点でもW系高速度鋼に比べ有利であることから、その使用量は近年著しく増大している $^{(1)}$ ~ $^{(3)}$ 。なかでも、最も標準形とされる 6-5-2 形(SKH9、ヤスキブランド YXM1)は現在実用されている高速度鋼中で最も靭性が大きく $^{(4)}$ 、ドリル、

タップおよび各種カッター類に広く賞用 されている。

Mo 系高速度鋼がわが国で工業的に使用されはじめたのは昭和30年以降で歴史が浅く、需要家では国産 Mo 系高速度鋼は輸入材に比べ品質的に劣ると評価され、相当量の外材が輸入されていた(5)。

品質は最終的には切削性能で評価されるけれども、外材と比較して劣るとみなされる受入検査上の主要な点は

- (1) 焼戻硬度にバラツキが多く、一般に外材よりも低い。
- (2) 炭化物粒の大きさが大である。
- (3) 素材 (黒皮品の場合) の表面脱炭が大きい。
- (4) 組織上の偏析が多い。

## の4点にしぼられる。

ドリルやタップ, あるいはハックソーブレードのようにマスプロ 方式によって製造される高速度鋼工具は, 特に上記の点が厳重に検 査され, またこれらは YXM 1 の最も大きな需要源でもある。

日立金属工業株式会社では YXM 1 の総合的な製造研究の結果, 上記の問題点を克服し,最もすぐれているといわれる外材と同等ないし,それ以上の製品を製造しうるようになった。本稿では新工程により製造された改良形 YXM 1 の特性を述べ,従来品ならびに外材との比較を行なった。

## 2. 供 試 材

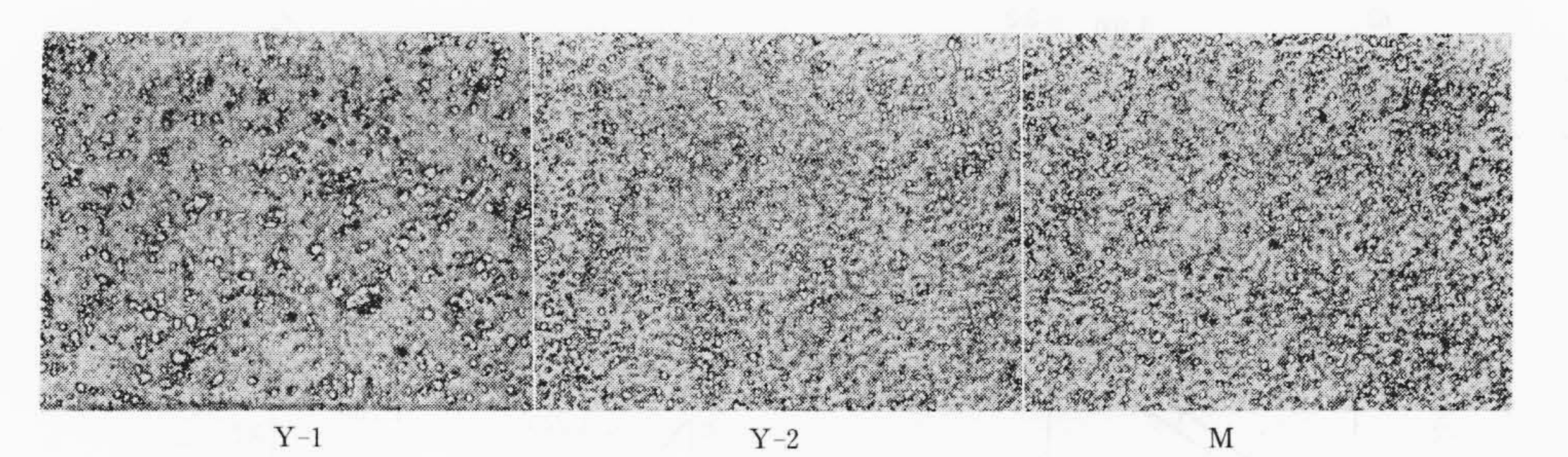
供試材はいずれも直径 10 mm の黒皮圧延棒鋼で、それぞれ適当 な焼鈍が施されてある。これらの化学組成を第1表に示す。

表中、Y-1は旧工程によって製造されたいわゆる従来品で、在庫品中より無作意に採取したものである。Y-2は新工程で製造されたいわゆる改良形 YXM 1 である。Mは西独M社の製造になるもので、外材中でもドリル材として最もすぐれた性能をもち、品質のバラッキが少なく、信頼して使用できると評されており、本試験に使用したM材は国内某ドリルメーカーの受入検査において、M社材の中で

第1表 供試材の化学組成

吾\*

tele d =	径 (mm)		化	学	組	成	(%)	
試 料		С	Si	Mn	Cr	W	Mo	V
Y-1	10	0.88	0.26	0.33	4.28	7.00	4.85	2.00
Y-2	10	0.86	0.31	0.34	4.15	6.93	5.30	1.83
M(外国材)	10	0.84	0.19	0.17	4.15	6.33	5.05	1.81



第1図 素材の顕微鏡組織 (×400)

もとくに優秀と判定されたものである。

素材のミクロ組織を第1図に示す。いずれもフェライト基質中に 微細な複炭化物を分布した組織であるが、Y-1に比較し、Y-2およ びMの複炭化物がきわめて微細化していることがわかる。

#### 3. 熱処理性質

 $10\phi \times 10 \,\mathrm{mm}$  の試料を作製し、1,025℃で 130 秒予熱後 1,210、1,220 および 1,230℃ の塩浴中に各 65 秒浸漬し、油焼入する熱処理を施した (この熱処理はドリル材の熱処理時間を短縮し、作業を能率化するために、特別に予熱温度を上昇し焼入浸漬時間を短縮したものである)。 その場合のオーステナイト結晶粒度を第2図に示す。次に、これらを 555℃ に保持した環状電気炉中で 1 時間ずつ 6 回焼戻しを繰り返し、各回ごとの硬度を測定した。測定結果を第3図に示す。

以上より、Y-2 およびMはY-1 に比べ、同一焼入温度における結晶粒が微細であり、かつ焼戻硬度の高いことが知られる。とくに焼戻硬度に関しては、焼入温度が低く、炭化物の固溶が比較的進行しがたい条件の場合に十分でしかも安定な焼戻硬度を与え、従来品との差をますます大きくする傾向がみられる。これらの図が示すように、従来品と同一の焼戻軟化抵抗度が新工程品あるいはM材では約20℃低い焼入温度において得られることとなり、一方結晶粒は微細となるために、靭性値の差はいっそう大となることが予想される。

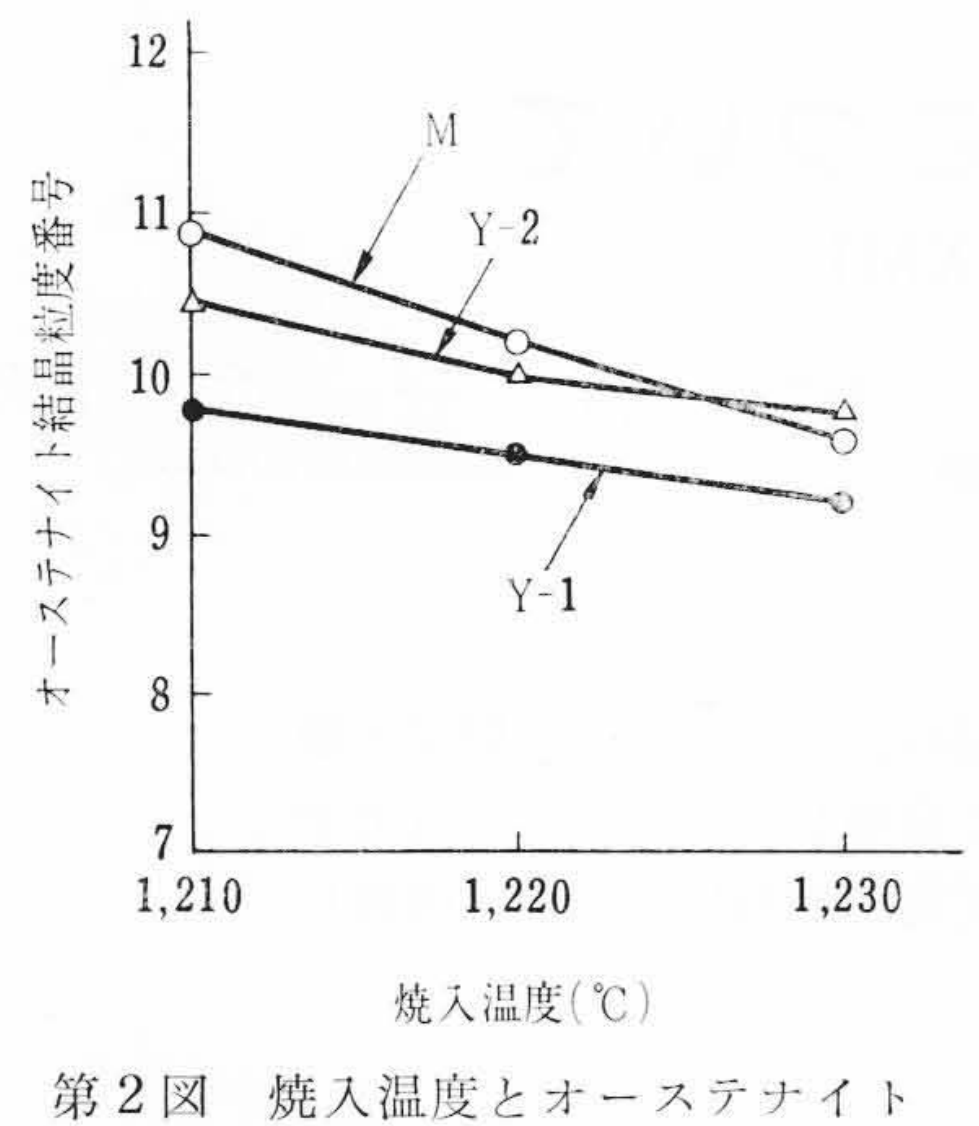
## 4. 靱 性

Y-1 およびY-2 の静的靭性を比較するために,10 t アムスラー引 張試験機を用いて一点荷重方式の抗折試験を行なった。試験片は

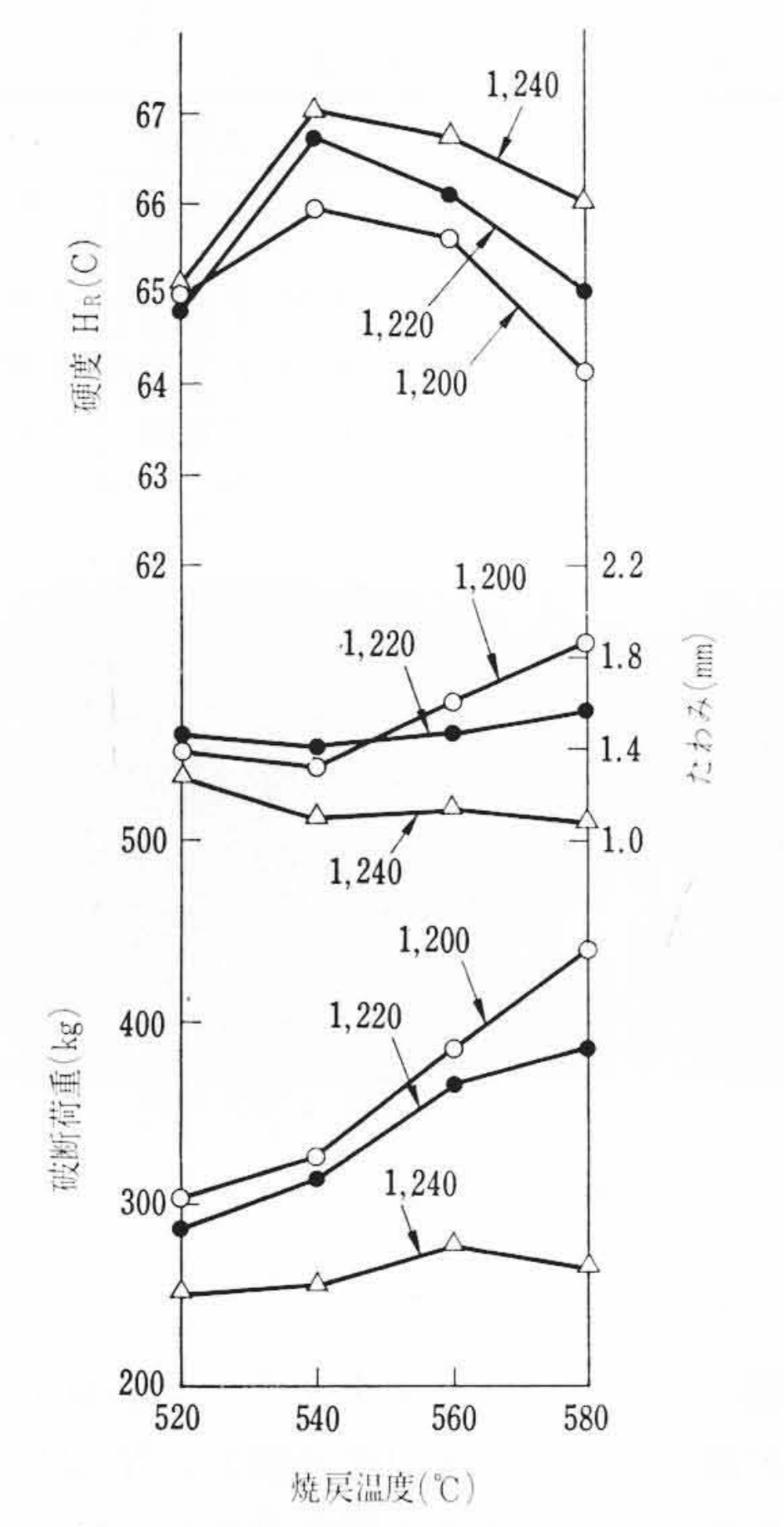
<sup>\*</sup> 日立金属工業株式会社安来工場

<sup>\*\*</sup> 日立金属工業株式会社 本社

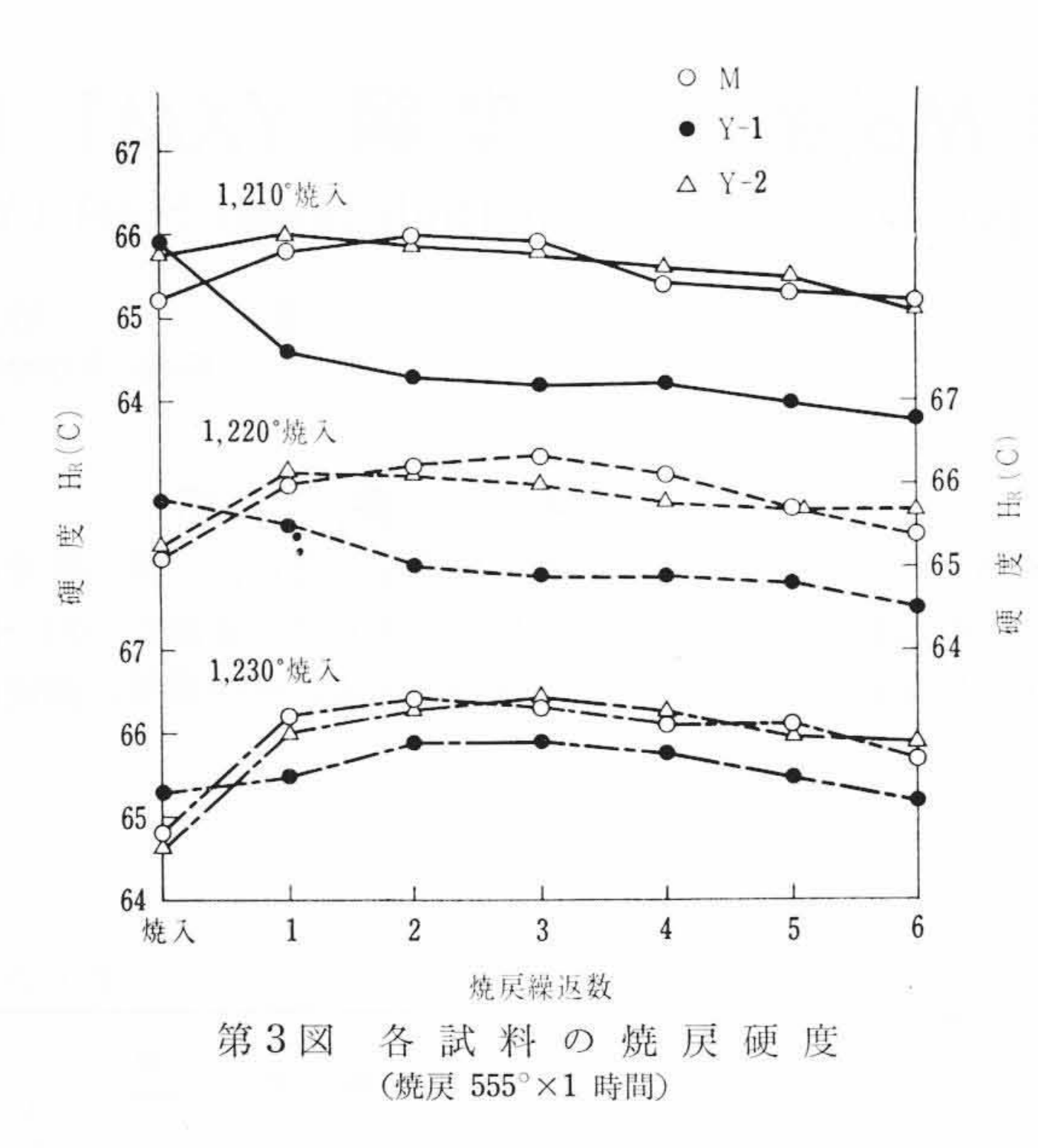
日

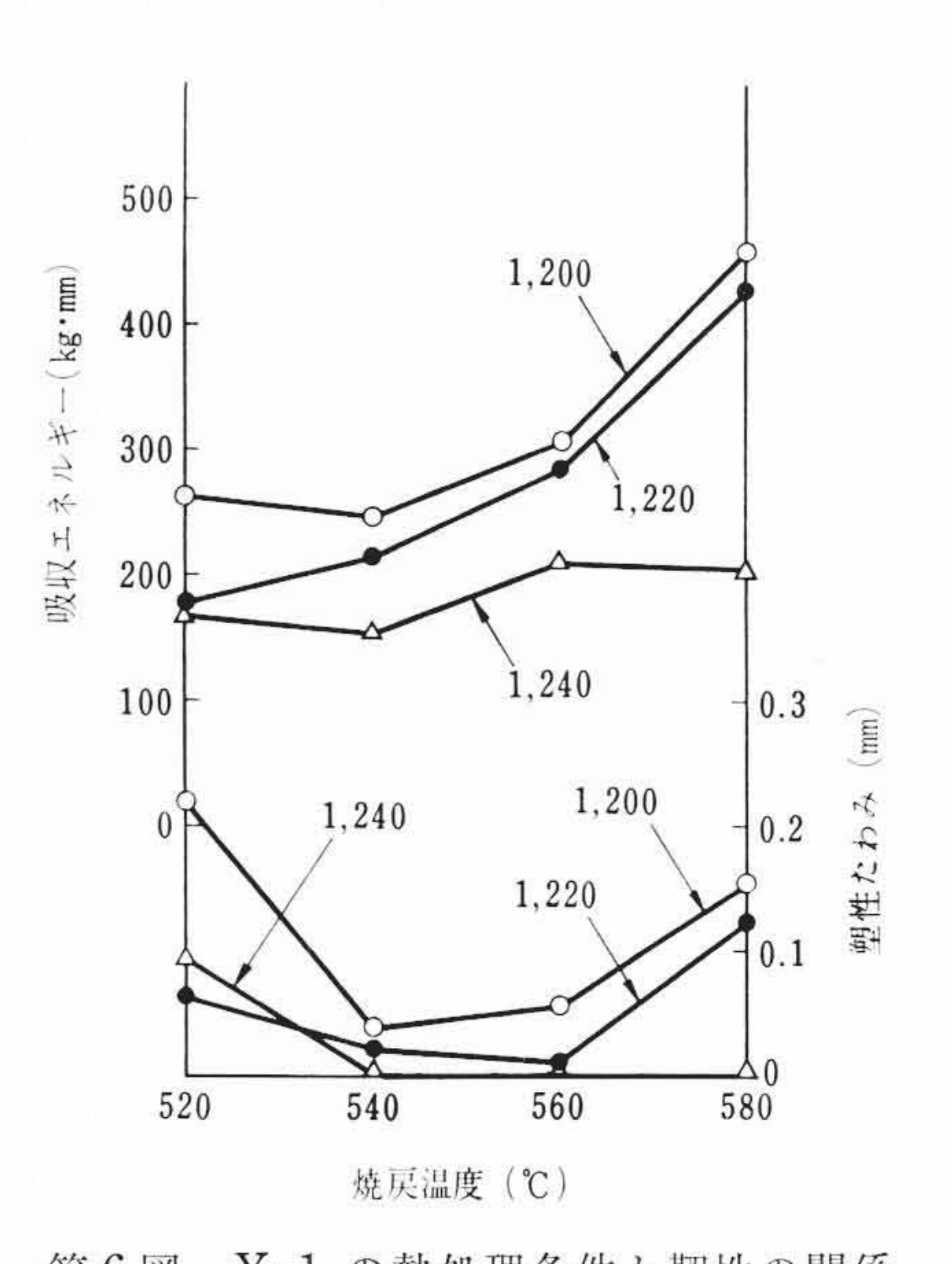


結晶粒度の関係

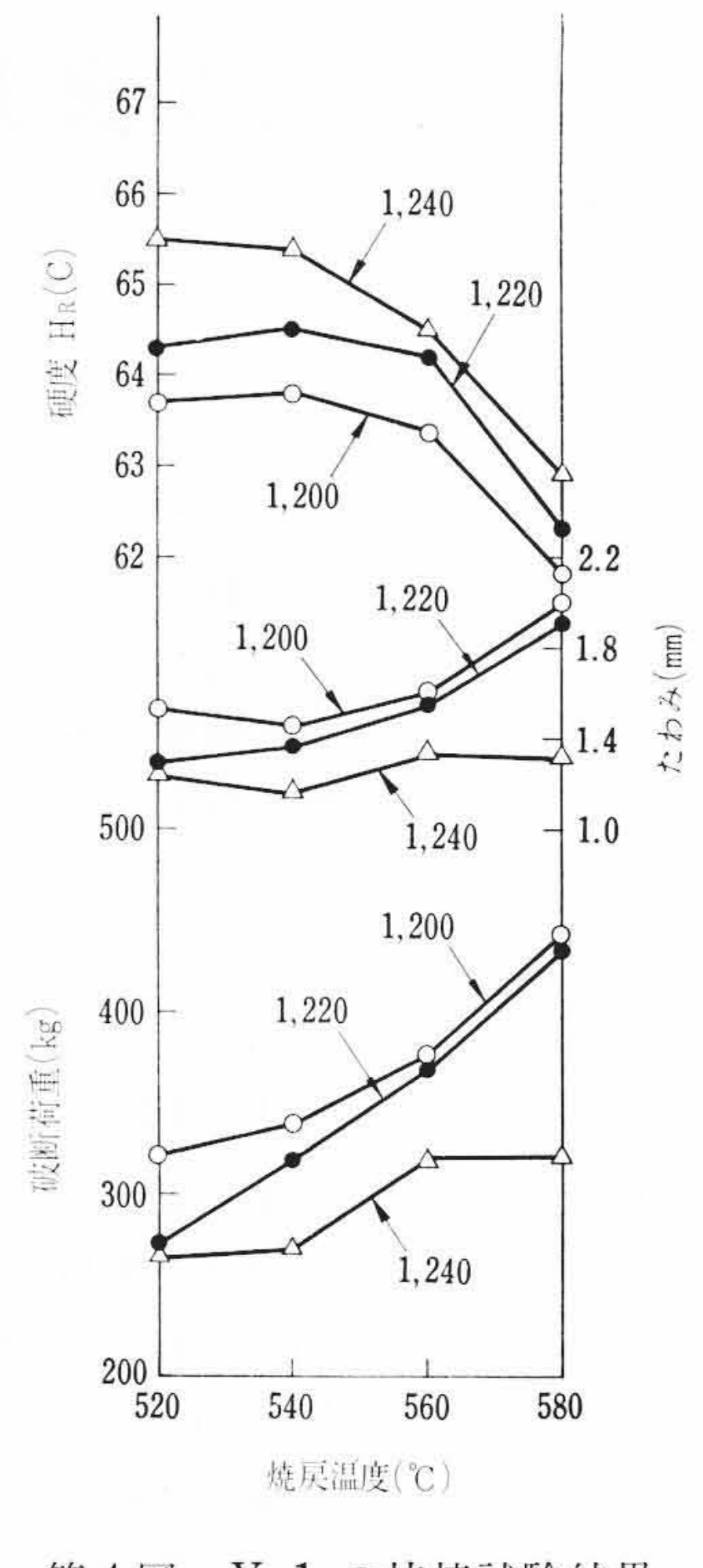


Y-2 の抗折試験結果 第5図

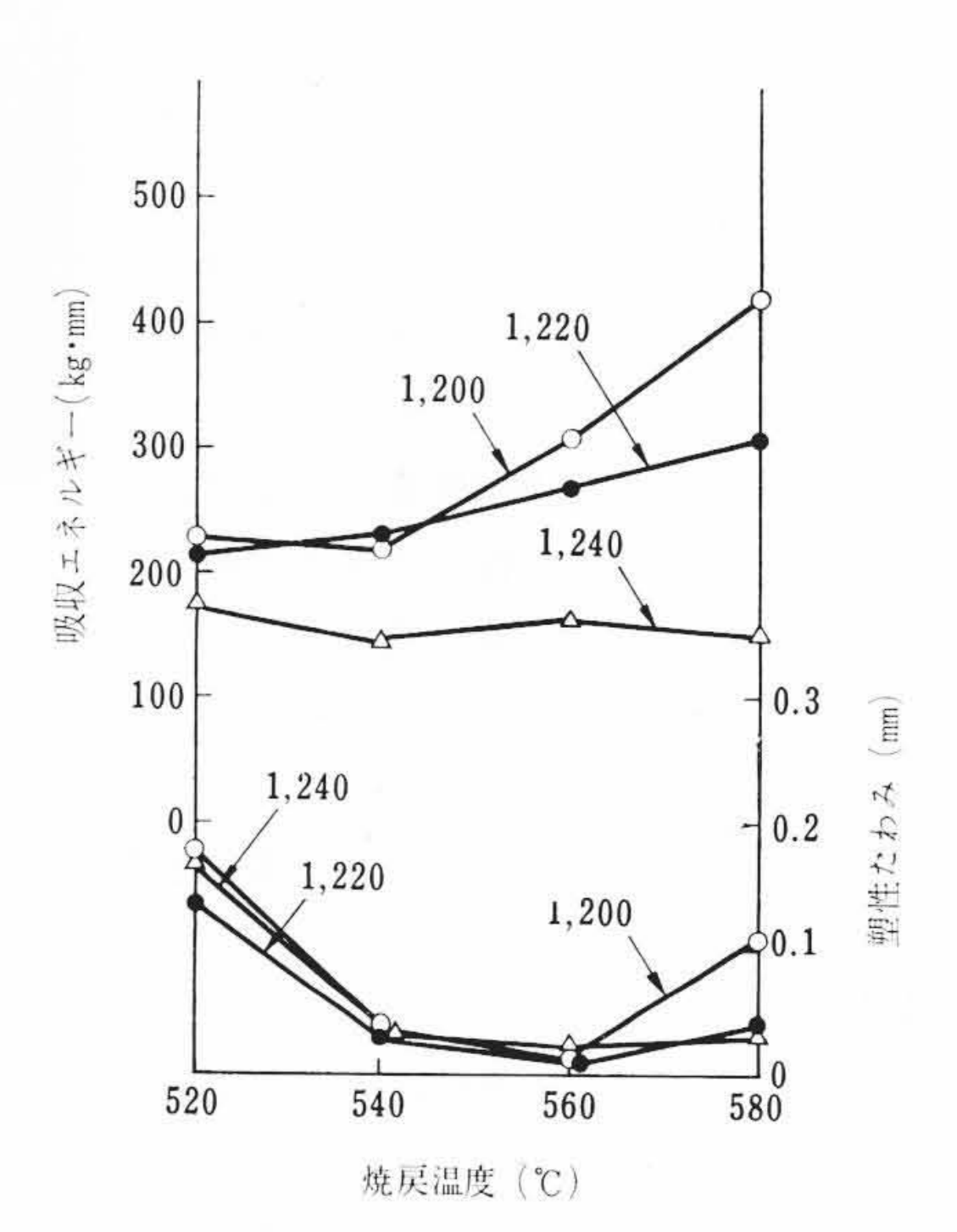




Y-1 の熱処理条件と靱性の関係 第6図



第4図 Y-1 の抗接試験結果



第7図 Y-2の熱処理条件とじん性の関係

50×70mm で, 支点間距離 50 mm, その中央を 10Rの押金具で荷 重を加え、破断するまでの荷重とたわみの関係を求めた。ただし、 たわみの測定には 1/100 mm ダイヤルゲージを用い, まず 10 kg の 予荷重を加えてそのときのダイヤルゲージの目盛を0に合わせ、次 にほぼ一定ひずみ速度で荷重を増加しながらたわみを測定した。

試験片は塩浴中で予熱 900℃×5 分, 焼入れは 1,200~1,240℃ の 各焼入温度において1分浸漬後油冷を行ない, 所定の焼戻温度(520 ~580℃)で1時間ずつ2回焼戻した。試験は同一処理条件において 4本行ない、その平均値をもって結果を図示した。硬度は破断した 試料を表面より 1 mm 平行研摩し、ロックウェル硬度計で測定した。

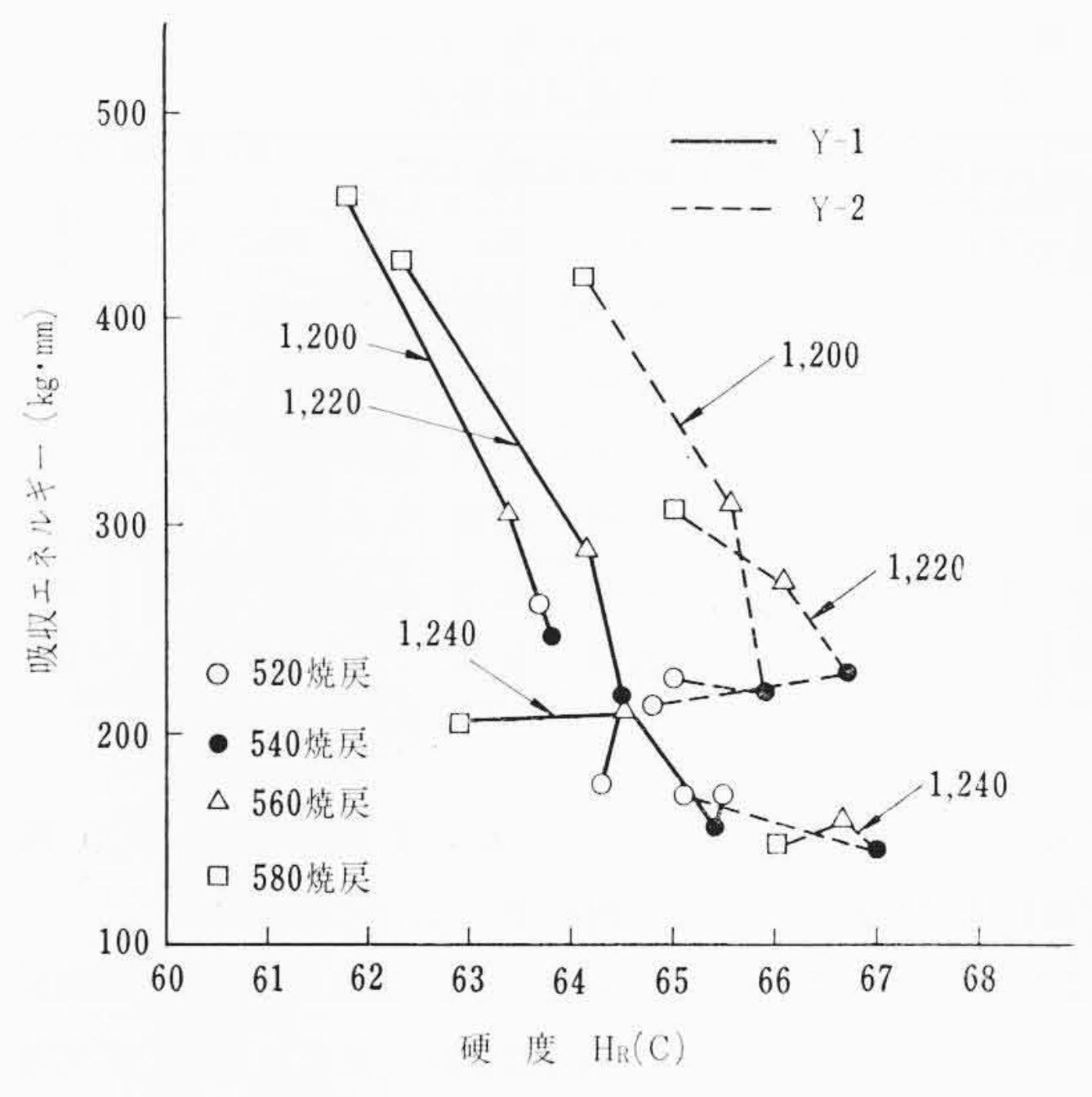
第4図および第5図に試験結果を示す。焼入温度の上昇につれて 焼戻硬度は増加し、破断荷重および破断時のたわみ量で示される静 的靭性値は減少する。焼入温度 1,200~1,220℃ の範囲では大差ない が、1,240℃では明らかに靭性は低下し、焼戻温度を上昇しても、そ の向上が少ない。この傾向はY-1およびY-2の両方に共通に認め られる。両者の明らかな差は同一熱処理条件において、Y-2の焼戻 硬度が高く,一方靭性値は若干Y-1のほうが大きいことである。

試験時の荷重―たわみ線図より,各試料の破断に要する仕事量 (吸収エネルギー)と塑性たわみ量を求めた。結果を第6図および第 7図に示す。吸収エネルギーは破断荷重あるいはたわみ量とほぼ同 様の傾向を示す。塑性たわみは焼入温度の低いほど大きい傾向はあ るが、あまり明瞭ではない。焼戻温度 540~560℃ で極小を示し、 同一熱処理条件における塑性たわみは Y-1 のほうがわずかに大き いようである。

第8図に硬度と吸収エネルギーの関係を示す。Y-2のほうが同 一硬度で比較した場合にいちじるしく吸収エネルギーが高いことが わかる。細物ドリルは硬度  $H_R(C)$  65~66 で使用されるが、この硬 度範囲では吸収エネルギーにして約 170 kg・mm, 約 100% Y-2 の ほうが靭性が大である。

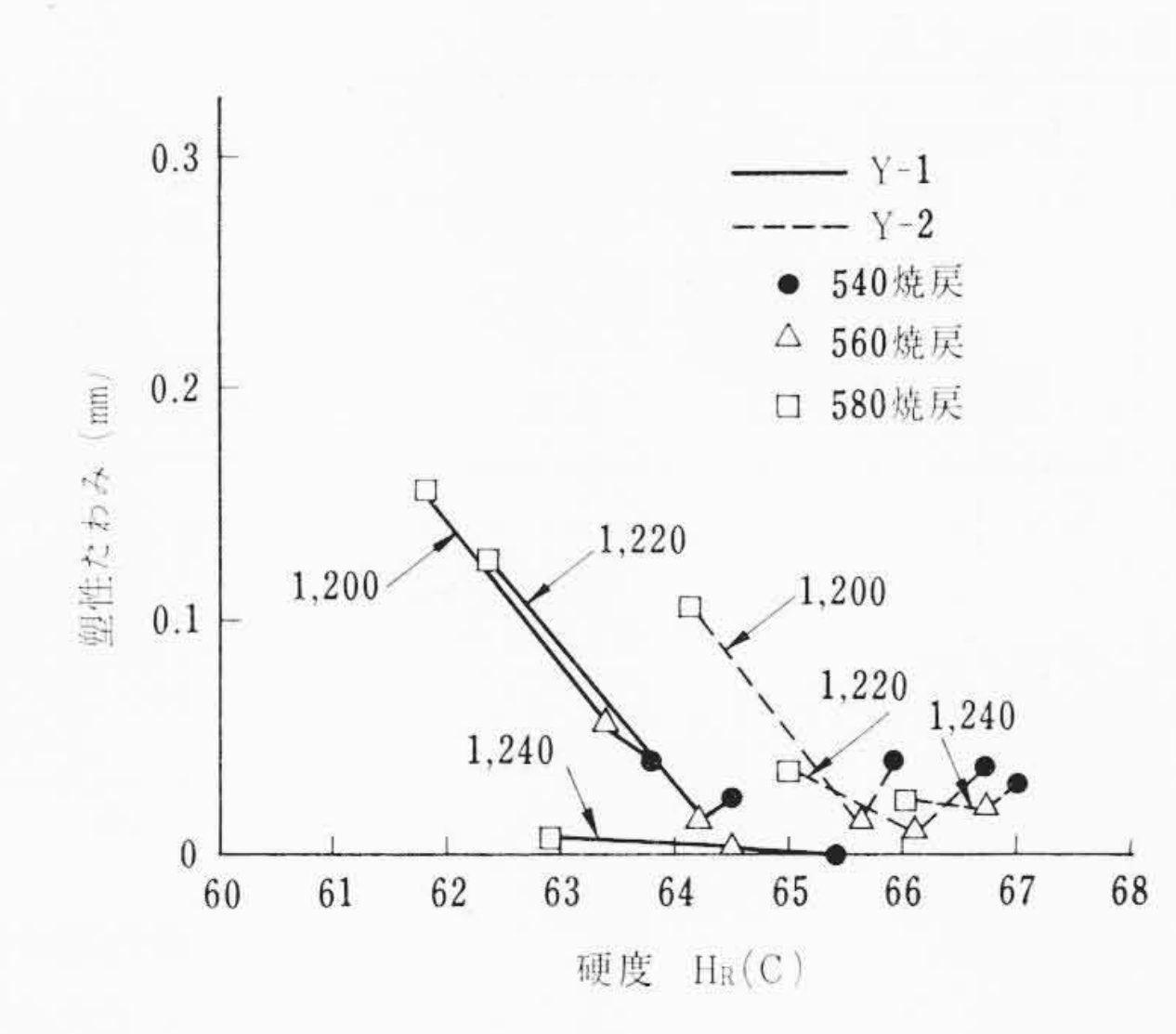
同様に塑性たわみと硬度の関係を示すと第9図のようになる。Y -1が H<sub>R</sub>(C) 65 以上で塑性たわみ量が 0 になるのに対し、 Y-2 は なお相当量の塑性たわみを示している。

以上のように、新工程品は従来品に比較して、高硬度範囲の靭性 を著しく改善する。

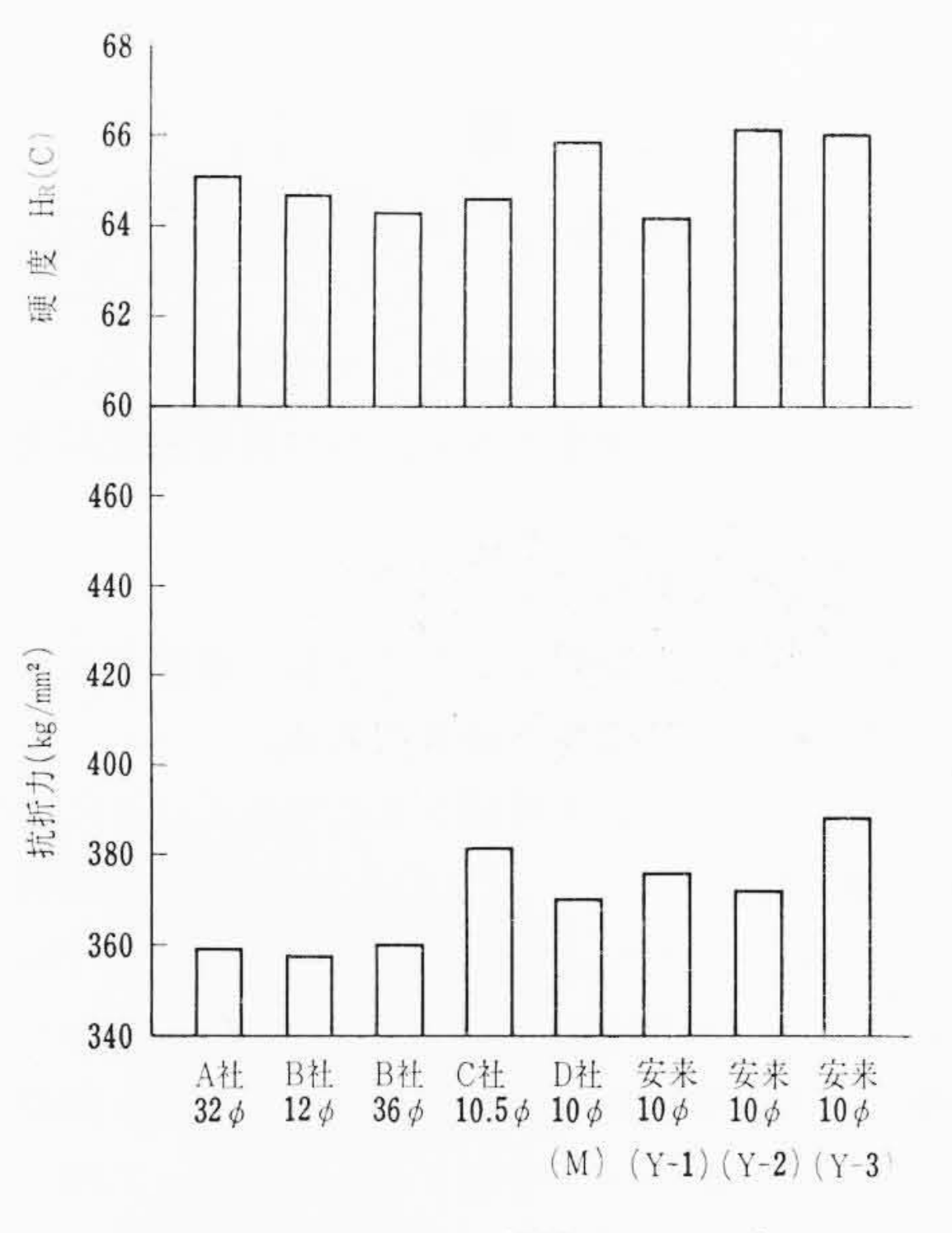


100

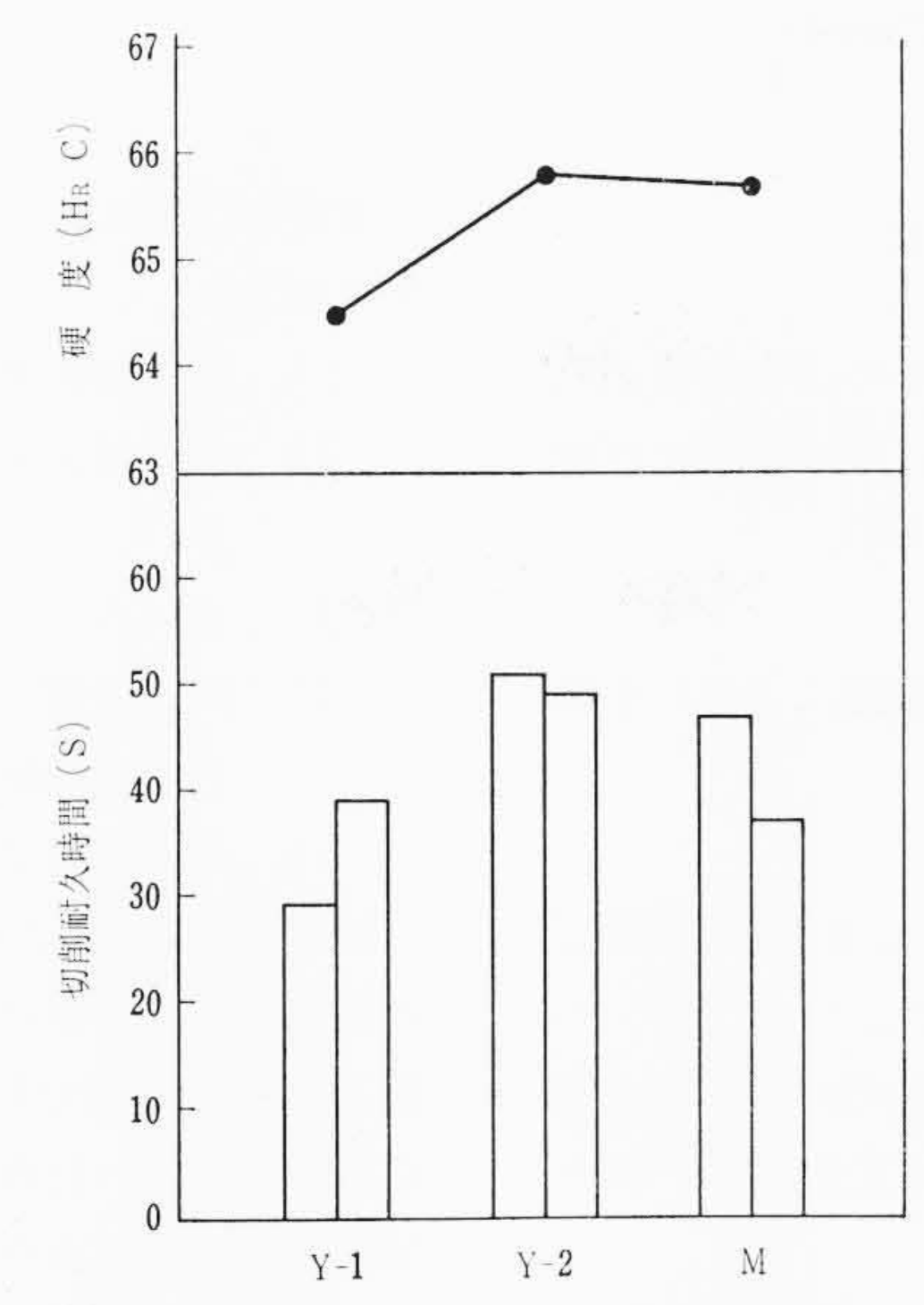
第8図 硬度と吸収エネルギーの関係



第9図 硬度と塑性たわみ量の関係



第10図 内外他社材 (SKH 9相当) と 安来材の抗折力の比較



第11図 バイトによる切削試験結果

Mについては試験材が不足のため、標準処理を施した場合の靭性のみ試験した。結果を第10回に示す。比較のために国内他社材(A,B社)、オーストリヤC社の試験値も併記した。いずれもSKH9相当の化学成分をもっている。Y-3はY-2と同様、新工程品の一例である。試料の熱処理はいずれも900°C×5分予熱、1,220°C×1分油焼入、560°C×1時間2回焼戻で、試験方法は前述とまったく同じである。抗折力は破断荷重より次式で計算したものである。

抗折力 (kg/mm<sup>2</sup>) = 
$$\frac{8WL}{\pi D^3}$$

ただし, W: 破断荷重 (kg)

L: 支点間距離 (mm)

D: 試験片直径 (mm)

第10図よりわかるように、安来材は一般に靭性が大であるが、とくに新工程品はM材と同様、硬度が高く、しかも靭性が大きい。

## 5. 切 削 性

## (1) 直剣バイトによる切削試験

予熱 1,025℃×135 秒,焼入 1,220℃×65 秒油冷,焼戻 555℃× 1 時間空冷 4 回繰返しの熱処理を施した 8 mm 角直剣バイト (17-2-10 -0-45-45-1R)を作製し,約 150 mm $\phi$ の SCM3 焼鈍材 (H B 180)

を被削材とする切削試験を行なった。ただし、切削条件は切込 1mm,送り 0.5mm/rev.,切削速度 60 m/min であり、切削油は用いていない。切削耐久時間は切削開始後、刃先の摩耗によって生ずる光輝帯現象の発生するまでの時間によって測定した。

切削試験結果を第11図に示す。このような刃先温度が著しく上昇する切削条件では新工程品は従来品に比べ、約50%切削耐久時間が長く、また外材Mと比較しても約20%長くなっている。

## (2) ドリルによる切削試験

国内ドリルメーカーにおいて、新工程品Y -2 と外材Mより 9.5  $\phi$  のストレート・シャン クドリルを作製し、調質せる S K7 を被削材 として切削試験を行なった。切削能力は刃先 の損傷によって切削不能となるまでの穿孔個数をもって比較した。

試験条件および平均穿孔個数比率を**第2表** および**第3表**に示す。焼入温度の影響は明らかでないが、いずれの条件においても**M**材にまさる切削性能をもつことがわかる。

## 6. 炭化物について

第1表に示す試料の焼鈍状態における炭化物量,粒度,種類ならびにその化学組成など を調査し,試料間の差を明らかにした。

## (1) 炭化物の電解分離

焼鈍試料の炭化物を分離抽出するため に,塩酸法による炭化物電解分離装置を使 用し,つぎの条件で電解した。

電解条件 電解液: 0.2N, HCl+10% クエン酸溶液

電流密度: 15 mA/cm<sup>2</sup> 電解時間: 40~50時間

第2表 ドリルによる切削試験の条件

項目		目	試 験 条 件				
被	肖	[1]	材	SK7, H <sub>R</sub> (C)40±1			
穿	孔	深	3	15 mm			
穿	孔	速	度	48.5 mm/min			
送			b	0.131 mm/rev			
口	車	<del>_</del>	数	370 rpm			
切	削	速	度	11.0 m/min			
冷	去	<b>:</b> IJ	油	水溶性切削油			

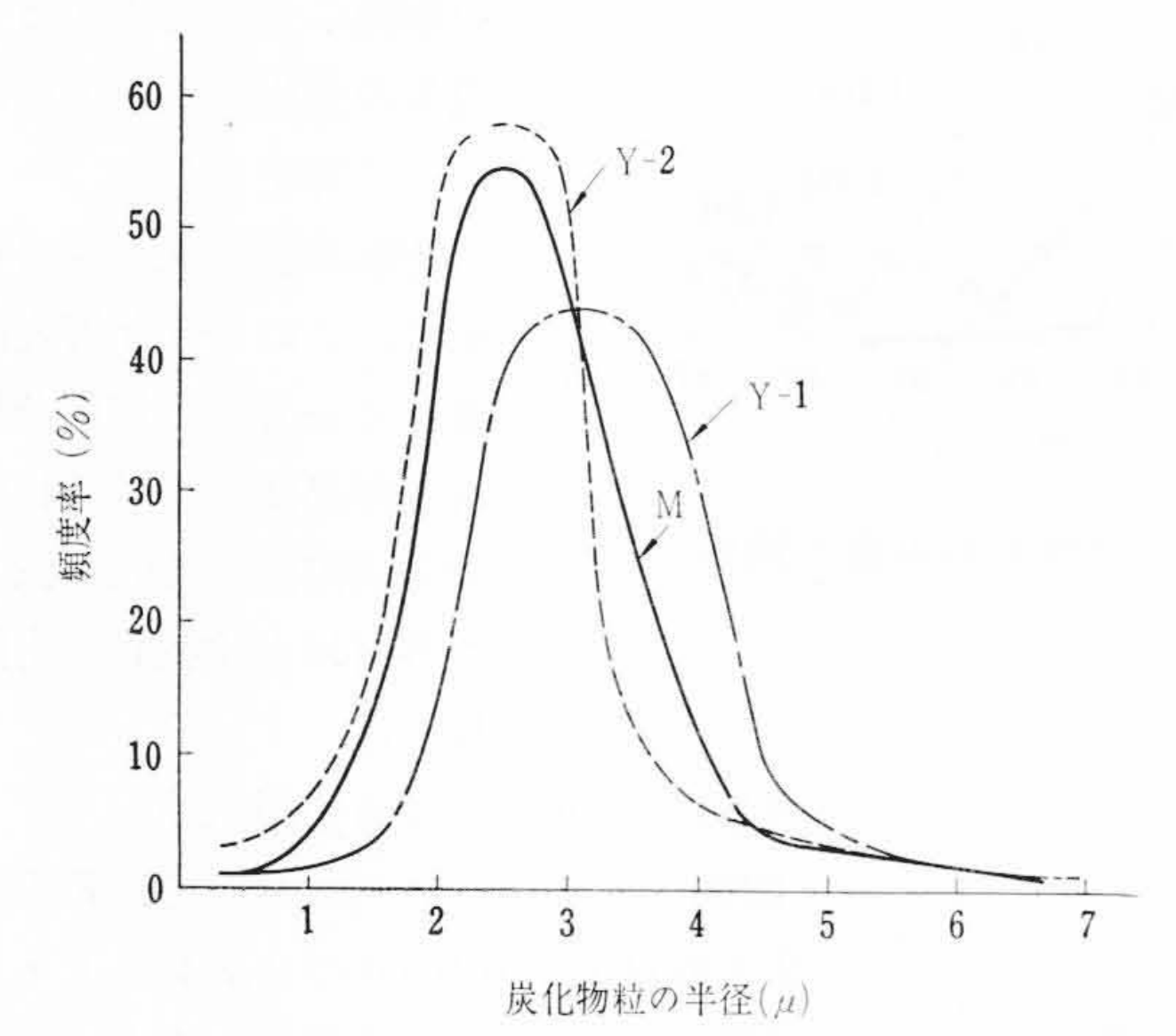
第3表 ドリルによる切削試験結果

試料一	熱 処	理 (℃)	硬 度	試験本数	平均穿孔個数 比率(%)	
	焼 入	焼 戻	$H_R(C)$	(個)		
	1,210 油冷	555×1時間4回	65.3	3	127	
Y-2	1,220 油冷	555×1時間4回	65.7	3	101	
	1,230 油冷	555×1時間4回	66.4	3	118	
М	1,220 油冷	555×1時間4回	66.0	10	100	

日

第4表 試料の炭化物の量, 比重, 平均粒度

試	料	炭 化 物 量 (Wt%)	炭化物比重	炭化物平均 粒子半径 (μ)	
Y-1		23.74	8.83	3.23	
Y-2		23.20	8.39	2.69	
M		22.68	8.60	2.75	



第12図 炭化物の粒度分布

各試料の電解減量と抽出炭化物量から,試料中の炭化物量(Wt%)を求めると第4表のようになる。すなわち,炭素量および炭化物形成元素の多いほど焼鈍状態の炭化物量は多い。

#### (2) 炭化物の比重

電解分離した炭化物粉末の比重測定結果(比重瓶による)を第 4表に示す。

## (3) 炭化物の粒度および粒度分布測定

Wiegner の沈降管(6)による粒度分布測定法により,電解分離した炭化物の平均粒度および粒度分布曲線を求めた。

第4表に炭化物の平均粒度を,第12図に炭化物の粒度分布曲線を示す。Y-2およびMの炭化物粒度が小さく,また粒度のバラッキ(標準偏差)も小さいことがわかる。

#### (4) 炭化物の化学組成

電解分離した炭化物を前述の沈降法によって大粒と小粒に2分し,粒度別に化学分析した。その結果を第5表に示す。

各炭化物の化学組成は、鋼の化学組成における各種元素の含有量の多少に影響して、炭化物中のこれら元素の含有量も若干差を生じている。Y-2およびM材の炭化物中のW量がY-1に比較して少なく、一方 Mo 量が多いのは素材の化学組成が影響したとみるべきであろう。

しかし、同一試料の炭化物粒度の区別による化学組成の差異は 比較的僅少であった。これは炭化物を粒度別に分けた際に、炭化 物量が少なく、化学分析用試料量の都合上、大粒と小粒の2区分 とし、粒度分布曲線の最大ピークを分岐点としたために、所期の 目的であった粒度別による化学組成の差があまり明瞭には現われ なかったのであろう。しかしながら、第5表の結果を細かく観察 すると、次のことが知られる。

- 1) 大粒のほうが一般に V 含有量が多い。他の元素に関しては 明らかな差がない。
- 2) Y-2は他の試料と比較して, 粒度別の合金元素量の差が多く, 小粒中の W, Mo, V 量が少なく Cr 量が多い。

#### (5) 炭化物のX線回折

前述のように粒度別に2分した各炭化物をX線回折した。 第5表にその結果を示す。

いずれも、Fe とWおよび Mo の複炭化物を主体とする M<sub>6</sub>C形

第5表 電解分離した炭化物の粒度別 化学分析値および X 線回折結果

試料	粒子半径 (µ)	粒度別 炭化物量 (Wt%)	炭化物の粒度別化学組成(%)					炭化物形組成比 *(%)		
			С	Cr	W	Mo	V	M <sub>6</sub> C	MC	$\begin{array}{c c} M_{23} \\ C_6 \end{array}$
Y-1	>2.9	9.30	3.76	9.24	30.79	18.38	7.99	79	11	10
	<2.9	14.44	3.63	9.08	30.64	18.50	7.86	83	10	7
Y-2	>2.25	10.09	3.67	8.62	29.53	21.31	8.33	81	10	9
	<2.25	13.11	3.66	10.45	25.93	20.37	6.56	83	7	10
M	>2.25	10.38	3.69	8.97	26.65	21.75	7.78	81	9	10
	<2.25	12.30	3.79	9.60	26.45	21.50	7.66	81	8	11

\* X線 回折による。

炭化物が大部分で  $70\sim85\%$  を占め、これに Vの炭化物 MC、Fe と Cr の複炭化物  $M_{23}C_6$  の両炭化物が共存している。

Y-2 およびM材の MC がやや少ないが、これは素材のV量が少ないことによる。一般に  $M_6$ C は小粒に多く含まれ、MC は大粒に多く含まれる傾向がある。 $M_{23}$ C<sub>6</sub> は Y-2 および Mにより多く含まれている。

## 7. 考 察

改良形  $YXM1 \cdot Y-2$  の特長を従来品 Y-1 と比較すると次のとおりである。

- (1) 炭化物がきわめて微細であり、粒度のバラツキが小さい。
- (2) 低い焼入温度で十分な焼戻硬度を与え、かつ焼戻抵抗が大きい。
- (3) オーステナイト結晶粒が微細である。
- (4) 同一硬度で比較した場合, 靭性をいちじるしく改善する。 とくに高硬度範囲の靭性の改善が顕著である。
- (5) バイトおよびドリルの切削耐久時間を大にする。

M材もほぼY-2と同様の特長をもつ。以上のうち、改良形YXM1 の最も大きな特長は(1)と(2)であり、またその目的に沿うように製造されたものである。(3)以下の性質は(1)および(2)によって必然的に得られた性能である。炭化物の微細化は溶解、造塊、熱間加工および焼鈍条件を改善し、かつ十分管理することによって得られた。高い焼戻硬度と焼戻抵抗は一定のオーステナイト化条件において炭化物の迅速かつ容易な固溶によって達成されるもので、炭化物の微細化と同時に適当な化学成分の調整ならびに焼鈍方法の改善による二次炭化物の固溶性の増加によって得られた。第5表に示したように、電解分離した炭化物の小粒が大粒に比べてW, Mo およびV量が低く、Cr量の高いことは、二次炭化物の固溶性が良好であることを暗示している。

オーステナイト結晶粒の成長は靭性の低下をもたらすために、焼 入状態であることが要求されている。炭化物は工具鋼の場合、結晶 粒成長に対するインヒビタ(阻止剤)として作用するが<sup>(3)</sup>、インヒビ タとして十分な役割を果たすためには、均一かつ微細に分布してい なければならない。改良形 YXM 1 はこの条件を満足するもので ある。

改良形 YXM1における靭性の改善は次のように説明される。すなわち、改良形 YXM1は低い焼入温度から焼入しても十分高い焼戻硬度を与えるので、同一焼戻硬度に対しても従来品より低い焼入温度が採用でき、したがって結晶粒はいっそう微細化する。それゆえ、靭性は増加する。ただし、同一熱処理条件で比較すると従来品と大差のない結果となるが、この場合、硬度は改良形 YXM1のほうが  $H_R(C)$  1.5~2 程度高くなる。

切削性は焼戻抵抗,靭性および耐摩耗性の複合効果として決定されるものであるから、これらすべての点ですぐれた性能を示す改良形 YXM 1 が良好な性能を示すことは当然であろう。

## 8. 結 言

YXM1の各種製造条件を検討することにより欧米一流品にまさる性能のものを製造できるようになった。その主眼点は炭化物の微細化と焼戻硬度ないしは焼戻抵抗の増大であり、これを達成することにより、靭性を大きく、かつ切削性を改良することができた。

この改良は主として10¢前後のドリル材を対象として行なわれたが、改良のために施された施策はあらゆるサイズの工具に対して適用でき、同様の効果を期待できるものである。

終わりにのぞみ、YXM1の改良研究に対し、終始ご指導、ご討論

を賜わった日立金属工業株式会社宮下専務, 桧垣安来工場長, 新持 冶金研究所副所長ならびに浅田次長に深謝の意を表するとともに, 炭化物の電解分離および X 線回折などにご協力をいただいた木村冶 金研究所員に対し厚くお礼申し上げる。

#### 参考文献

- (1) E. Niesielski: Metallurgia 57, 233 (1958-May)
- (2) P. Payson: Metal Progress 79, 65 (1961–Jun)
- (3) G. A. Roberts et al: Tool Steels 3ed edit. (1962-A.S.M)
- (4) 新持,清永,奥野: 鉄と鋼 50,678 (1964-4)
- (5) たとえば 特殊鋼 11, 106 (1962-1)
- (6) 高田: 粉体および粉末冶金 8,235 (1961-5)

# からのである。 特許の紹介 からのでのである。

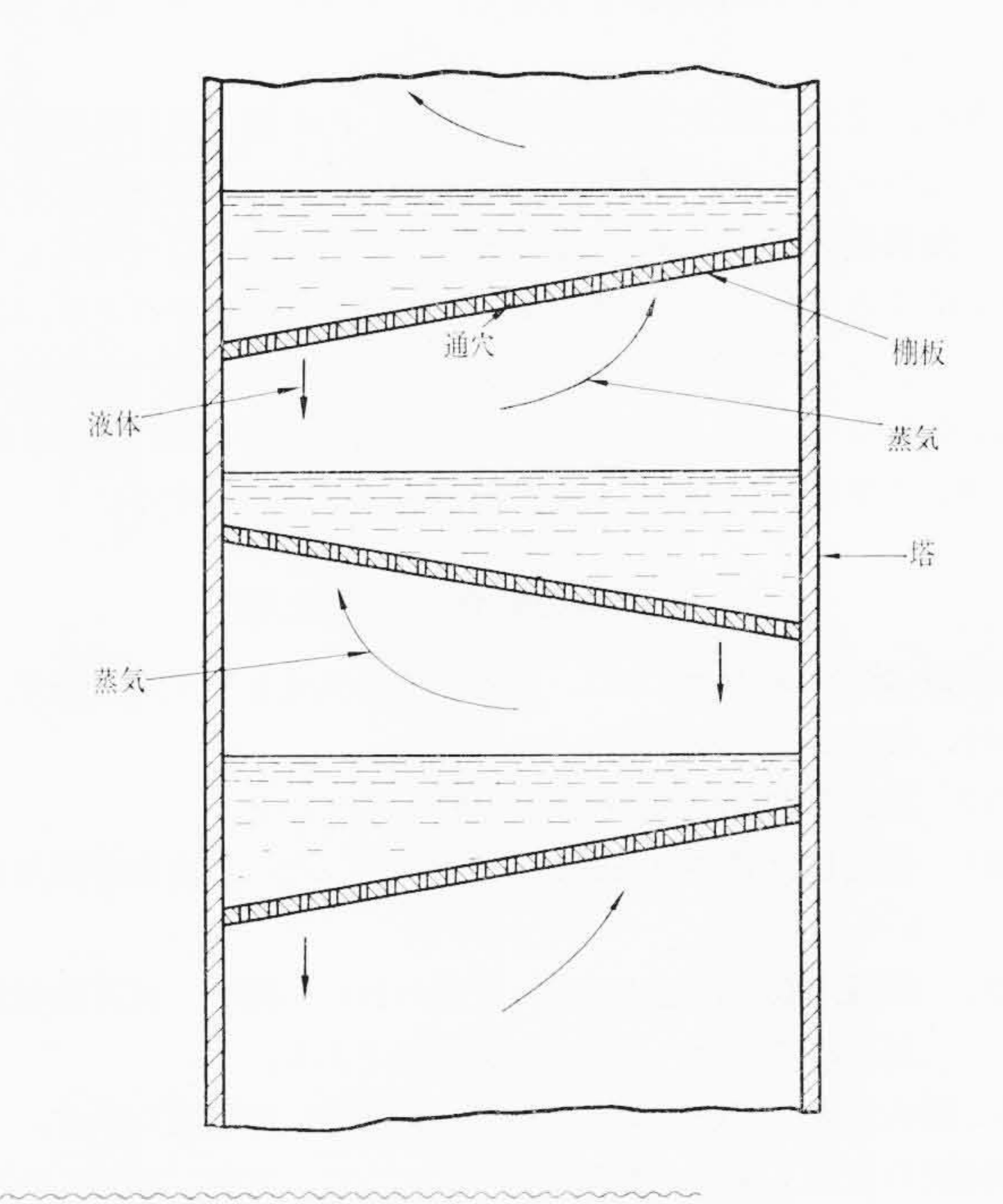
特許 第410430号

平塚幸哉•増田貞夫

## 精 留 塔 の 棚 段

蒸留,吸収,抽出あるいはこれらに類似する操作に使用する気液接触装置としての棚板には種々あり,堰または溢液管を持たない棚板としては,格子板,リップルトレイなどがあるが,これらは構造が複雑である。棚板としては,構造簡単な普通の多孔板を使用するのが有利であるが,堰または溢液管を持たない棚板に平坦な多孔板を用いると,多孔部を液および蒸気が交互に通過するため,棚上の流層が乱れて塔内の圧力変動が増大し,液層を通過する気泡の直径も大きくなって気液の接触が悪くなる。

この発明は、平坦な多孔板よりなる棚板を、上下に適当な間隔を設けかつ水平面に対し適当な傾斜を持たせて配設したことを特長とする。このようにすると、棚板上の液層に差を生じ、常に棚板の高部より蒸気が上昇し低部より液体が落下して気液の接補が行なわれるから、棚板上の液層を安定させることができるとともに塔内圧力の変動をなくすことができ、かつ堰や溢液管を用いないため、堰面積に対して気液の接補面積を有効に使用することができる。



特許 第410131号

平塚幸哉・増田貞夫

## 精 留 塔 の 棚 板

蒸留あるいは吸収用の気液接触装置の棚板には、構造の簡単な普通の多孔板を使用するのが有利であるが、溢液管を持たない棚板に平坦な多孔板を使用すると、多孔部を液体および蒸気が交互に通過するため、棚上の液層が乱れて塔内の圧力変動が増大し、液層を通過する気泡の直径も大きくなって気液の接触が悪くなるなどの欠点がある。

この発明は、このような欠点を除くために、平坦な棚板に通孔を密に設けた多孔部と、通孔を粗く設けた粗孔部とを、適当な間隔をもって配置したことを特長とするものである。多孔部より蒸気が上昇すると、液層中に泡沫層を形成し、多孔部上部の気液の混合層の密度は原液の0.2~0.5密度の程度となるが、粗孔部上部の液体の密度は原液の密度とほとんど変わらない。したがってこの状態で蒸留操作を行なうと、多孔部からは常に蒸気が上昇し、粗孔部からは常に液体が落下して、気液の接触が行なわれる。

この発明によれば、棚板上の液層を安定させることができ、かつ 塔内の圧力変動をなくすことができて、安定した運転を行なうことができる。

